

Тем не менее соотношение (12) позволяет неявным образом указать класс состояний, для которых равенство (3) справедливо тождественно. Из соотношения (12) следует, что соответствующие температурные распределения должны удовлетворять условию

$$\int \rho c \frac{\partial T}{\partial t} \left( 1 - \frac{T_k}{T} \right) dV = 0 \quad (16)$$

которое с учетом (8) может быть переписано как

$$\int [(\mathbf{j} \cdot \mathbf{E}) - \operatorname{div} W] \left( 1 - \frac{T_k}{T} \right) dV = 0 \quad (17)$$

Таким образом, показано, что, даже когда справедлив принцип минимума производства энтропии, мощность, диссирируемая в стационарном состоянии дуги, не минимальна по сравнению с мощностью, диссирируемой в нестационарных состояниях, которые близки к стационарному, вопреки выводу, сделанному в [1]. В то же время, поскольку соотношение (2) при определенных ограничениях эквивалентно уравнению Эленбааса — Геллера, возможен вариационный подход к расчету стационарных режимов дугового разряда, основанный на принципе минимума производства энтропии. Экстремальность диссирируемой мощности также может быть использована в виде (4), но не для произвольных температурных распределений, а лишь для тех, которые удовлетворяют условию (17). В частности, легко показать, что условию (17) удовлетворяют температурные распределения, соответствующие приближению «каналовой» модели столба дуги, описанной, например, в [2].

Поступила 5 VI 1972

#### ЛИТЕРАТУРА

1. Peters T., Über den Zusammengang des Steenbeckschen Minimumprinzips mit dem thermodynamischen Prinzip der minimalen Entropieerzeugung. *Z. Phys.*, 1956, Bd 144, № 5
2. Финкельбург В., Меккер Г. Электрические дуги и термическая плазма. М., Изд-во иностр. лит., 1961.
3. Гроот С. Р. де, Мазур П. Неравновесная термодинамика. М., «Мир», 1964.
4. Аронзон Н. З. О теоретическом обосновании принципа минимума напряжения дуги. Электричество, 1958, № 3, стр. 56.

УДК 532.516 : 535.36

#### ОБ ИЗМЕНЕНИЯХ СО ВРЕМЕНЕМ ХАРАКТЕРИСТИК РАССЕЯНИЯ СВЕТА ВОДНОЙ СРЕДОЙ ПРИ ЕЕ ГИДРОДИНАМИЧЕСКОМ ВОЗМУЩЕНИИ

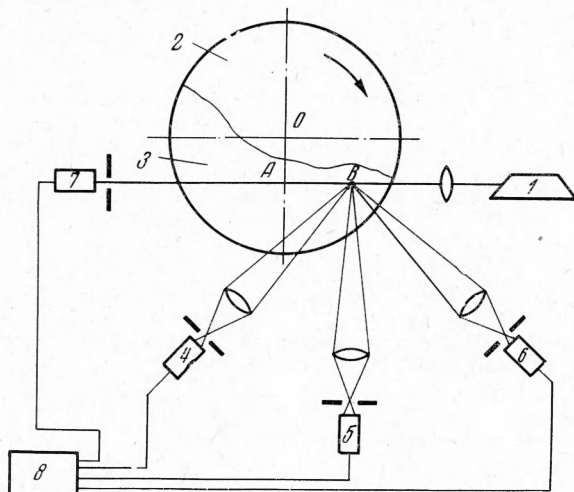
*B. M. Сысак, A. M. Трохан*

(Москва)

В работе приводятся результаты экспериментального исследования зависимости характеристик рассеяния лазерного излучения дистиллированной водой при внесении в нее гидродинамических возмущений. Обнаружено, что после внесения возмущения световой поток, рассеиваемый жидкостью, возрастает. Эффект возникает только в устоявшейся воде. Рассмотрено влияние магнитного поля.

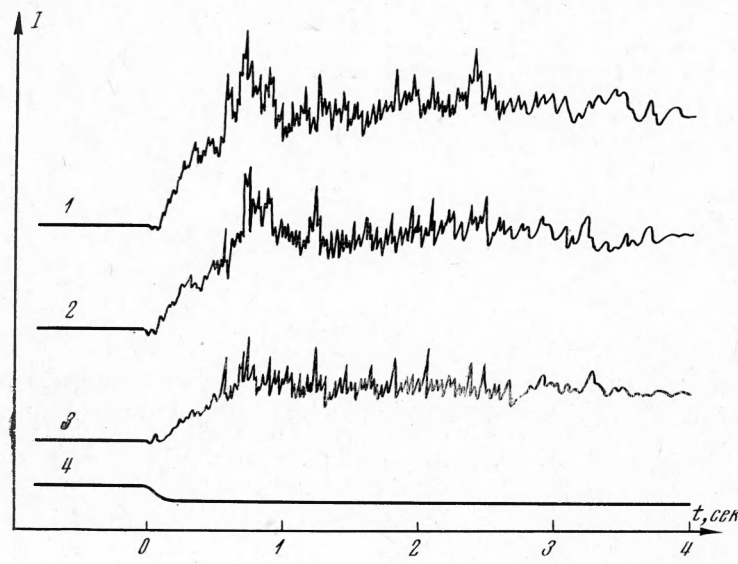
В работе [1] исследованы флуктуации лазерного излучения, рассеиваемого неподвижной жидкостью, в которую вводится разовое возмущение с помощью падающего тела. В данной работе рассмотрены эффекты рассеяния водой, заключенной между двумя соосными дисками, при этом учитывалась предыстория рассеивающей среды, а гидродинамическое возмущение создавалось вращением одного из дисков.

Схема экспериментальной установки приведена на фиг. 1. Луч гелий — неонового лазера 1, сфокусированный длиннофокусным объективом, направлялся в промежуток между дисками 2 и 3, помещенными в сосуд с дистиллированной водой. Диаметр дисков 90 м.м., расстояние ( $h$ ) между дисками регулировалось. Луч равноудален от плоскостей дисков. Регистрировалось излучение, рассеянное под углами  $\alpha = 45, 90$  и  $135^\circ$  к оси дисков.



Фиг. 1

луча, при помощи фотоумножителей 4, 5 и 6 из объема порядка  $0.4 \text{ mm}^3$ . Объем фиксированный и общий для всех трех направлений. Заданная область светового пучка вырезалась щелями, расположенными в плоскостях изображения объективов непосредственно перед фотокатодами фотоумножителей. Дополнительно при помощи фотоумно-

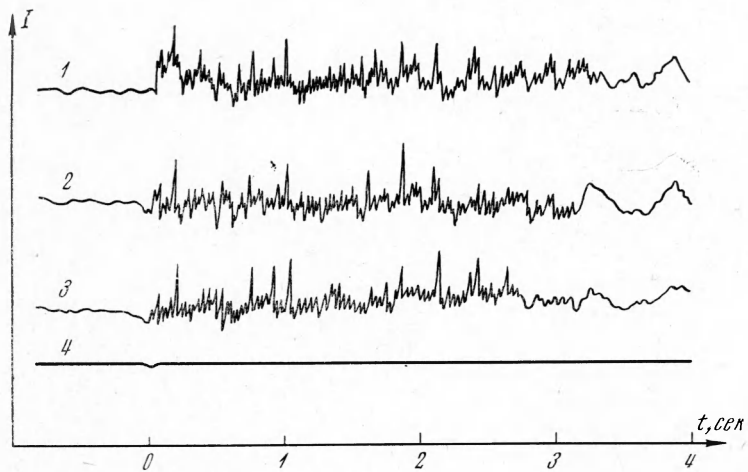


Фиг. 2

жителя 7 регистрировалось изменение интенсивности излучения, прошедшего сквозь сосуд. Диафрагма защищает фотоумножитель 7 от излучения, рассеянного вперед под малыми углами.

Каркас сосуда, диски и все остальные погружающиеся в воду детали установки изготовлены из латуни, черненой методом оксидирования. Окна — из полированного оконного стекла. Гидродинамическое возмущение вносилось вращением верхнего дис-

ка. Начальная скорость вращения порядка  $4 \text{ об/сек}$ , время вращения до полной остановки  $\sim 3 \text{ сек}$ . В дальнейшем на протяжении всего эксперимента диски оставались неподвижными. Одновременная регистрация по всем четырем каналам велась при помощи микроамперметров (фототоки фиксировались при неподвижных дисках) и шлейфового осциллографа с низкочастотными вибраторами.

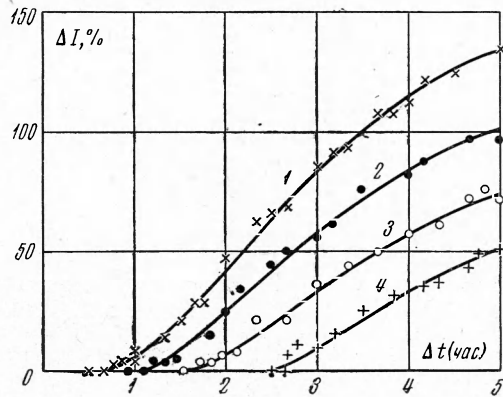


Фиг. 3

На фиг. 2 и 3 приведены характерные осциллограммы изменения интенсивности рассеянного света для углов, равных  $45^\circ$ ,  $90^\circ$ ,  $135^\circ$  (соответственно кривые 1, 2 и 3), и света, прошедшего сквозь сосуд (кривая 4). По горизонтальной оси отложено текущее время ( $t = 0$  — момент внесения возмущения), по вертикальной — токи фотоумножителей. Промежуток времени с момента предыдущего возмущения ( $\Delta t$ ) для фиг. 2 равен 60 час., для фиг. 3 — 5 мин. Для обеих фигур начальные фототоки для кривых 1, 2, 3 примерно одинаковы и равны  $30 \mu\text{A}$ , для кривых 4 —  $200 \mu\text{A}$ ,  $h = 2.5 \text{ мм}$ . Из осциллограмм на фиг. 2 видно, что среднее значение интенсивности рассеянного излучения в устоявшейся воде после внесения в нее разового возмущения увеличивается, причем тем значительней, чем меньше угол рассеяния. Новые величины фототоков превышают свои начальные значения на 200, 170 и 100% для углов  $\alpha$ , равных  $45^\circ$ ,  $90^\circ$  и  $135^\circ$ . Свет, прошедший сквозь сосуд, ослабляется примерно на 5%. Внесение возмущения в не устоявшуюся достаточно время воду не приводит к изменению оптических свойств воды (фиг. 3). Пульсации интенсивности рассеянного излучения имеют для обеих фигур примерно одинаковый характер.

Все приведенные осциллограммы записаны для точки  $B$  (см. фиг. 1). Процессы в точке  $A$  отличаются меньшей на порядок длительностью переходного периода изменения интенсивности рассеянного излучения от начальной (непосредственно перед возмущением) до конечной величины. Различие обусловлено направлением возмущающего движения относительно лазерного луча — вдоль луча (в точке  $A$ ) или поперек (в точке  $B$ ).

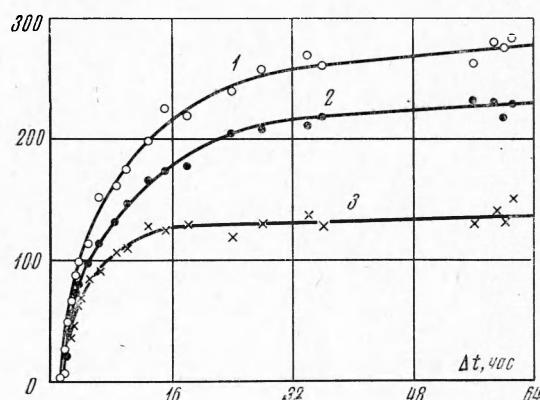
Применялся следующий порядок проведения измерений. Через заданный промежуток времени с момента последнего возмущения записывались токи по всем четырем каналам, включался на запись осциллограф, вносились очередное возмущение и через  $5 \div 10 \text{ сек}$  записывались новые значения токов. Затем запись токов повторялась еще несколько раз в течение последующих  $20 \div 30 \text{ сек}$ . Подсчитывались их средневзвешен-



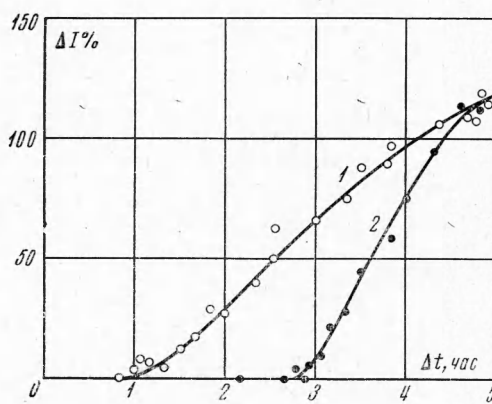
Фиг. 4

ные значения, и по последним — относительное превышение этих токов над начальными, которые принимались за 100%.

В дальнейшем изменение интенсивности рассеянного и прошедшего сквозь сосуд излучения принималось пропорциональным изменениям соответствующих фототоков. Использование для анализа экспериментальных



Фиг. 5



Фиг. 6

ке  $\Delta t > 24$  час. Эти соотношения справедливы и для других  $h$ . При  $\Delta t > 24$  час, хотя кривые и идут почти горизонтально, некоторый рост  $\Delta I$  с увеличением  $\Delta t$  сохраняется.

На фиг. 6 приведены графики для случая  $h = 1.5$  мм,  $\alpha = 45^\circ$ . Кривая 1 записана в тех же условиях, что и предыдущие графики, кривая 2 — в поле постоянного магнита. Магнитное поле задерживает начало возникновения эффекта, который возникнув, однако, через 2–3 час начинает достигать тех же значений, что и при отсутствии магнитного поля. В дальнейшем обе кривые практически совпадают. Ориентация магнитного поля безразлична.

Вместо их абсолютных значений позволило существенно уменьшить аппаратурную погрешность. На фиг. 4, 5 и 6 приведены некоторые характерные графики, построенные по экспериментальным данным. Везде по горизонтальной оси отложены отрезки времени между предыдущим и очередным (в момент измерений) возмущениями ( $\Delta t$ ), по вертикальной — относительные приращения (в процентах) интенсивности рассеянного излучения после возмущения ( $\Delta I$ ).

На фиг. 4 приведены графики, соответствующие различным расстояниям между дисками при  $\alpha = 90^\circ$  ( $h = 1.0, 1.5, 2.0, 2.5$  мм — соответственно кривые 1, 2, 3 и 4). Как видно из графиков, рассматриваемый эффект начинает проявляться через определенный для каждого  $h$  интервал времени, затем линейно растет на протяжении  $\sim 2$  час, после чего кривые становятся пологими. Этот интервал времени тем меньше, а прирост эффекта идет тем быстрее и достигает тем больших значений, чем меньше  $h$ . Приведенные соотношения справедливы для всех  $\alpha$ .

На фиг. 5 приведены графики, соответствующие  $h = 1.5$  мм для углов  $\alpha$ , равных 45, 90 и  $135^\circ$  (кривые 1, 2 и 3). Эффект растет тем быстрее и достигает тем больших величин, чем меньше  $\alpha$ , а момент возникновения почти не зависит от  $\alpha$ .

С ростом  $\Delta t$  увеличивается расхождение между кривыми для разных  $\alpha$  примерно от отношения 1.0 : 1.1 : 1.2 на начальном участке, до отношения 1.0 : 1.6 : 2.0 на участ-

ке  $\Delta t > 24$  час.

#### ЛИТЕРАТУРА

1. Верховы́х Н. П., Верховы́х Ю. Ф., Сыса́к В. М., Трохан А. М. О рассеянии света турбулентной жидкостью. ПМТФ, 1970, № 1.

Поступила 16 II 1972